

筑賀大学 理工学部 正員 鬼塚亮児  
〃 〃 〃 ○吉武義樹

1. まえがき、締固め含水比や締固め方法（静的、動的等）が異なると、土の構造が変わり、このために力学的特性にその違いが現われると言わせられる。果して、ほんとうにそうなのかい？また、現在看守らが研究していく締固め工の異方性にこの締固め方法がどのように係わりを持つか。これらの課題を解明するために、異なる方法で前走の含水比に締固めたカオリインについて一面せん断と三軸圧縮試験を行なった。そして一面せん断では興味ある知見を得た。この結果と考察を加えて、以下筋道を進めよう。

2. 供試体および試験方法。試料は市販のカオリインである。 $G_s=2.745$ ,  $u_L=50\%$ ,  $I_F=25\%$ , シルト分40%, クリソマライト分60%,  $W_{opt}=25\%$ の諸性質を有し、CHに属する。試験は一面せん断と三軸圧縮試験の2種類である。前者の一面せん断に用いる供試体は次のとおりである。乾燥側、最適含水比、湿润側の含水比でJIS A.1210、呼び名1.1に準じて突固めを行なう図-1に示す様子2種類の供試体を削り出した。一面せん断のせん断面が締固め方向に対して直角なものとH Sample、せん断面が締固め方向に平行なものとV Sampleと呼ぶことにする。尚、このランマーによる突固めを動的締固め(impact compaction)と名付ける。統れて、動的締固め供試体と同じ含水比と密度を有するH.V. Sample供試体を作成するために圧縮装置で締固めた。これを静的締固め(static compaction)と呼ぶ。これら通りの締固め方法で作成した供試体について、 $10 \text{ mm/min}$ のせん断速度で等圧せん断を行なった。次に三軸圧縮試験などの種類の締固め方法と用いた。まず、前記の動的締固めを行なう、直徑5cm、高さ10cmの供試体を削り出した。次にハーバード突固め装置を用いて前走のエネルギーと同じ寸法の供試体を作成した。この締固めを半動的締固め(kneading compaction)と呼ぶ。統れて、これら動的および半動的締固めで得られた供試体と同じ含水比、密度を持つ供試体を静的締固めで作成した。そして、これらの供試体について $1 \text{ mm/min}$ の圧密非排水(元)三軸圧縮試験を行なった。

### 3. 試験結果と考察。

3.1. 従来の工構造の考え方。締固め土の構造の考え方を初めて発表したのはLambeである。統計的Seedの異なる締固め方法で作成されたSampleの力学的特性をLambeの提案する図-2の土構造で説明していく。すなはち、乾燥側に締固めたりした工構造は相手的にランダムな配列をなし、これをFlocculated Structureと呼ぶ。

3.一方、湿润側では一般に配列方向が整然としたDispersed Structureであり、これがランマーやアンバーによる入力によって变形を受けると形成される。Seedの性質工の三軸圧縮試験の結果、乾燥側に締固めたSampleの力学的特性に締固め方法の影響を受けない。しかし、湿润側での締固め方法による、强度特性の異なりと述べてある。その結果は図-3で示される。一方、YongとWarkentinとLambeと全く別の工の構造の考え方を示してある。図-4に示す様に、動的締固めではランダム構造となり、静的締固めではより配向した構造である。含水比と工構造の関係については述べていない。この構造を考慮すると、H方向に

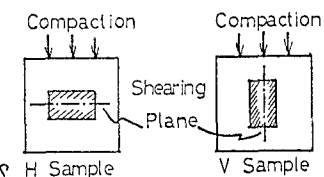


図-1

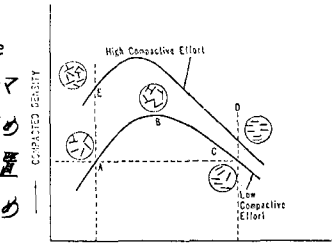


図-2 構造に及ぼす締固めの影響

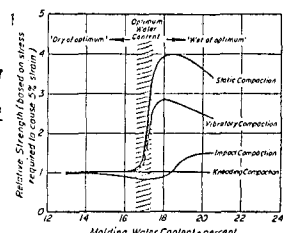


図-3 Seedの実験結果

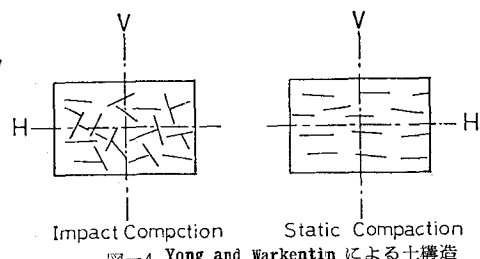


図-4 Yong and Warkentinによる土構造

結果、乾燥側に締固めたSampleの力学的特性に締固め方法の影響を受けない。しかし、湿润側での締固め方法による、强度特性の異なりと述べてある。その結果は図-3で示される。一方、YongとWarkentinとLambeと全く別の工の構造の考え方を示してある。図-4に示す様に、動的締固めではランダム構造となり、静的締固めではより配向した構造である。含水比と工構造の関係については述べていない。この構造を考慮すると、H方向に

せん断を行なうと動的締固め供試体が静的締固め供試体よりもせん断強度は大きく、またV方向に(1/2)D迄に静的締固めのものか、動的締固めのものより強くなる。この様に、締固め工の構造の考え方か、今だ確立されない。

3.2. 一面せん断試験、動的に締固めると図-5の様に、一般にせん断応力はHSampleの方がVSsampleよりも大きくなる。また、垂直変位につれて、HSampleの方が吸着量が小さく、膨張に軽じ易い。ピーク時のせん断応力を比較するとやはりHSampleの方が大きく、 $(\tau_s)H / (\tau_s)V = 1.1$ ～1.6である。逆数をとると、 $(\tau_s)V / (\tau_s)H = 0.6$ ～0.9となる。図-6参照。この様な異方性を示す理由として次の二つが考えられる。一つはHSample、VSsampleの先行荷重( $P_0$ )の違いである。上下方向に締固めた場合先行荷重は一般にHSampleの方がVSsampleよりも大きい( $P_0)H > (P_0)V$ 。不試験は過圧密状態であり、この先行荷重の違いにより異方性が生ずると考えられる。この理由は、図面を省略したが、粒着力CがHSampleに比べて大きく差違していることである。せん断抵抗角θには、より異方性を見られない。動的締固めによくある、粒子の配向は垂直より水平方向にいくぶん卓越してみると思われる。この面に沿ってせん断したときにより大きな粒着力抵抗が生じるものと推察される。静的に締固めた場合、強度異方性は動的締固めの場合と全く逆の性状を呈した。図-5、図-6に見られる様にVSsampleの方がせん断応力は大きく、吸着量は小さく。 $(\tau_s)V / (\tau_s)H = 1.042$ 。これら高い静的圧力での締固めにより、粒子が水平方向に配列し、この工構造の影響が入る況わからためと考えられる。尚、著者らの別の研究によると、同じ静的締固めでも密度が小さく( $\rho_{max}$ の90.85、80%の締固め密度)になると、動的締固め同様の異方性を示す。これより、工構造の配向性よりも、HSampleの先行荷重や粒着力抵抗の違いに起因すると言えよう。これら動的締固めと静的締固めのせん断応力を比較すると表-1のようになる。動的締固めと静的締固めをS.A.F.S, I.S.で区別している。この実験結果は含水状態に関係してあるYong and Warkentinらの考え方と一致する。

3.3. 三軸圧縮試験、一面せん断面が一面せん断試験のHSampleのはば中間を通ることもある。それ、締固め方法と力学的特性の明確な関係は見出せなかった。

4.まとめ、一面せん断試験の結果から締固め工の構造はYong and Warkentinらの提案するもとに等しいと推察できる。また工の構造だけではなく異方的な先行荷重や粒着力も力学的特性に影響を与えると思われる。

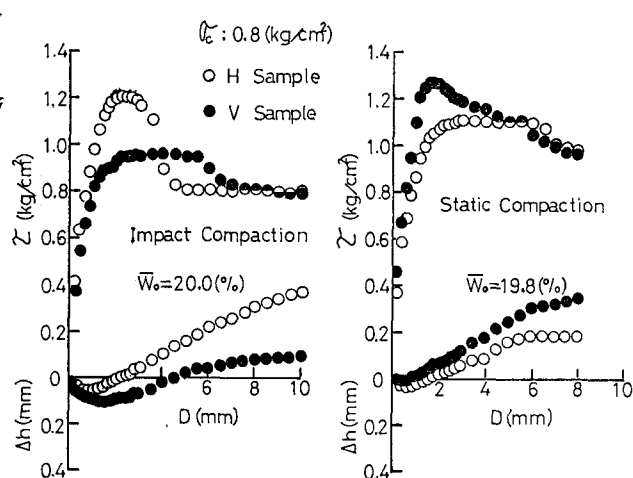


図-5 セン断応力、垂直変位と水平変位

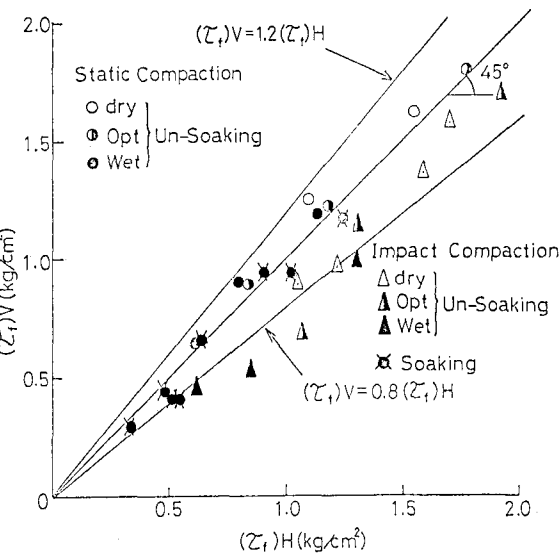


図-6 セン断応力の比較

表-1	
Impact Compaction	Static Compaction
$(\tau_s)_{IH}$	$>$
$\checkmark$	$\triangleleft$
$(\tau_s)_{IV}$	$<$
	$(\tau_s)_{SH}$
	$\triangleleft$
	$(\tau_s)_{SV}$

Yong and Warkentinらの考え方と一致する。